•腹部影像学 •

DWI 结合 LAVA 技术在肝脏占位性病变中的应用价值

倪明立,王玉慧,汤艳萍,李永,王成伟

【摘要】目的:探讨联合运用 DWI和 LAVA 技术在肝脏占位性病变的诊断价值。方法:回顾性分析经手术病理证实的 60 例肝脏占位性病变(小肝癌 30 例、肝血管瘤 15 例、肝囊肿 15 例)的 MRI 图像。扫描序列为常规自旋回波序列 (T_2WI,T_1WI) 、LAVA 多期增强序列及 DWI 检查(b 值分别为 0 和 800 s/mm²)。比较小肝癌、肝血管瘤、肝囊肿的 ADC 值是否有差异;对比分析 LAVA 多期增强序列(A 组)、 T_1WI,T_2WI 和 DWI(B 组)及这 2 种方法联合应用(C 组)在病变检出和定性诊断方面的价值。结果:在病变检出方面: A 组检出 67 个病灶,B 组检出 67 个,C 组检出 67 个,A 组与 C 组比较,对病变的检出率无差异。在结节的定性诊断方面:在取得临床或病理证实的 67 个病灶中,A 组诊断正确 57 个 (85.1%),C 组为 65 个(97%),2 组间差异有显著性意义($\chi^2=5.858$,P<0.05);肝囊肿、肝血管瘤、小肝细胞癌的 ADC 值分别为(3.341±0.299)×10⁻³ mm²/s、(2.154±0.308)×10⁻³ mm²/s、(1.132±0.241)×10⁻³ mm²/s。结论: DWI 结合 LAVA 技术对肝脏小病灶的定性诊断具有重要的临床应用价值。

【关键词】 磁共振成像; 肝肿瘤; 扩散加权成像

【中图分类号】R445.2; R735.7 【文献标识码】A 【文章编号】1000-0313(2010)12-1371-04

Diagnostic value of combined DWI and LAVA for hepatic focal masses NI Ming-li, WANG Yu-hui, TANG Yan-ping, et al. Department of Radiology, Medical College of Shihezi University, Xinjiang 832000, P. R. China

[Abstract] Objective: To explore the value of combined LAVA and DWI in the diagnosis of hepatic focal masses. Methods: MRI images of 60 patients pathologically confirmed to have hepatic focal masses (hepatocellular carcinoma 30, liver hemangioma 15, liver cyst 15) were retrospectively analyzed. MRI sequences included T_1 WI, FS T_2 WI, enhanced multi-phasic LAVA scanning and DWI (b value as 0 and 800s/mm² respectively). Images quality of all sequences was assessed. ADC values of the small hepatocellular carcinoma, liver hemangioma and liver cyst were statistically analyzed. The values of detection and diagnosis of intra-hepatic small nodular lesion by enhanced multi-phasic LAVA scanning (group A), T_1 WI, T_2 WI and DWI (group B) and enhanced multi-phasic LAVA scanning in combination with DWI (group C) were compared and analyzed. Results: In respect of detecting intra-hepatic lesions, 67 intra-hepatic lesions were detected in group A,67 lesions in group B and 67 lesions in group C. No statistical difference existed between group A and group C. In respect of characterization of intra-hepatic lesions, there were 60 clinically or pathologically proved nodular lesions correct diagnosis was obtained in 57 cases (85.1%) by group A,65 cases (97%) by group C, with significant statistical difference ($\chi^2 = 5.858$, P < 0.05). ADC values of different nodules were (1.132±0.241)×10⁻³ mm²/s (small hepatocellular carcinoma), (2.154±0.308)×10⁻³ mm²/s (liver hemangiomas), (3.341±0.299)×10⁻³ mm²/s (liver cysts). Conclusion: Enhanced multi-phasic LAVA scanning in combination with DWI showed important clinical value in respect of detecting and diagnosing intra-hepatic small nodular lesions.

(Key words) Magnetic resonance imaging; Liver neoplasms; Hepatic focal masses; Diffusion weighted imaging

肝内占位性病变有多种影像学评价方法, MRI 检查对肝内病变的诊断有重要的临床意义。本研究对60 例经手术病理证实的肝脏占位性病变病例进行回顾性分析, 旨在探讨扩散加权成像(DWI)结合肝脏容积三维超快速多期动态增强技术(LAVA)在肝脏占位性病变诊断中的价值。

材料与方法

搜集 2008 年 10 月~2010 年 1 月我院行 MRI 检

通讯作者:王成伟,E-mail:wangchengwei6@sina.com

查并经手术、穿刺活检及病理证实的肝脏占位性病变的患者 60 例,其中男 35 例,女 25 例,年龄 22~76 岁,中位年龄 47.2 岁。病变种类包括小肝癌 30 例(30 个病灶)、肝血管瘤 15 例(18 个病灶)、肝囊肿 15 例(19 个病灶)。小肝癌病灶大小为 1.0~5.3 cm,肝血管瘤病灶大小为 0.8~4.3 cm,肝囊肿病灶大小为 0.5~5.0 cm。30 例小肝癌中 5 例影像表现典型且有慢性迁延性肝炎病史和进行性 AFP 升高而确立诊断,10 例经穿刺活检证实、15 例经手术病理证实;10 例肝血管瘤、9 例肝囊肿经穿刺活检或手术病理证实;5 例肝血管瘤、6 例肝囊肿经超声,CT、MRI 平扫和增强扫描等检查及综合诊断并随诊观察确诊。

使用美国 GE 公司生产的 Signa 1.5T HDe 8 通

作者单位:832000 新疆,石河子大学医学院第一附属医院 CT 和MR1 室(倪明立、汤艳萍、李永、王成伟);471000 洛阳,洛阳市中心医院内分泌科(王玉慧)

作者简介:倪明立(1981一),男,河南洛阳人,医师,硕士研究生,主要从事 CT 及 MRI 的影像诊断工作。

道 MR 扫描仪。DWI 扫描:采用体部表面线圈,扫描 序列和参数采用 SE-EPI 序列, TR 1500 ms, TE 47 ms,b=0,800 s/mm²;采集层厚 7 mm,间隔 1 mm, 每次扫描最长屏气时间控制在 24 s 完成肝 DWI 数据 采集,全肝分4~6次扫描完成。T2WI采用呼吸触发 脂肪抑制快速恢复自旋回波序列(TR 7000 ms, TE 85 ms), T₁ WI 采用屏气的双回波扰相梯度回波序列 (TR 160 ms, TE 4.5 ms)。多期动态增强扫描采用冠 状面和轴面肝脏容积超快速三维成像(LAVA)序列, 层厚 2 mm,扫描层数 150,TR 4.5 ms,TE 2.2 ms,屏 气 12~15 s。用磁共振专用高压注射器以 3 ml/s 的流 率,按 0.1 mmol/kg 的剂量注射钆喷酸二甲基葡胺 (Gd-DTPA),随后注入 15 ml 生理盐水以保证对比剂 完全进入体内,注射后 15~20 s 时行第一次扫描(动 脉期), 重复扫描 3 次(门脉期), 最后再采用 LAVA 序 列作延迟期扫描(5~6 min 后)。

图像分析及数据处理: ADC 图像由相应层面 DWI 图像通过 GE 公司 ADW 4.3 工作站自动拟合而成。数据测量是在 ADC 图像上利用 GE 公司数据测量软件包直接进行 ADC 值测量。测量时,取病灶直径最大的层面上测 ADC 值,每个病灶选用同样大小的圆形兴趣区(ROI)在不同位置测量 3 次取其平均值,对于多发病灶只选用 2 个典型病灶进行测量。诊断结果由两位副高职称以上医师分别对 DWI 图像和LAVA 图像单独阅片,如果诊断意见不一致,再进行集体阅片,达成共识。数据分析采用 SPSS 13.0 统计软件进行,采用配对四格表卡方检验,分析 LAVA 诊断(A组)、T₁WI、T₂WI和 DWI 诊断(B组)和 LAVA,DWI 联合应诊断(C组)的诊断结果,分别计算 3种方法对肝脏病变检出及定性诊断方面的差异性。

统计学方法:应用 SPSS 13.0 统计软件进行数据处理。计量资料以均数土标准差 $(x \pm s)$ 表示,多组间比较采用单因素方差分析,两两比较采用q检验;计数资料比较采用 χ^2 检验,p<0.05 为差异有统计学意义。

结 果

1. 影像学表现

小肝癌在 T_2 WI 上星高信号或略高信号, T_1 WI 星低信号或略低信号,DWI 大多数星高信号,少部分病灶亦可表现为混杂信号,实质部分为高信号,坏死囊变部分为低信号,边界清楚,ADC 图像信号与 DWI 刚好相反,LAVA 动态增强动脉期有明显强化,门脉及延时期强化消退,强化表现为"快进快出"(图 1)。 肝血管瘤的 MRI 表现为 T_1 WI 上星低信号, T_2 WI 为高信号,DWI 呈等信号或稍高信号,ADC 图像表现为稍高信号,LAVA 动态增强动脉期病灶周围结节状明显

强化,门脉及延时期强化向心性充填(图 2)。肝囊肿表现为 T_1 WI 上呈低信号, T_2 WI 上呈高信号,DWI 呈低信号,ADC 图像表现为高信号,LAVA 动态增强时不强化或仅病灶边缘稍强化。

2. 病灶的检出及定性诊断

不同序列及 LAVA 联合 DWI 序列对肝脏占位性病变的检出率和定性准确率见表 $1:T_1WI$ 、 T_2WI 结合 LAVA 多期动态增强扫描(A组)对 67 个病灶的检出率为 100%,对病灶的定性准确率为 85.1% (57/67); T_1WI 、 T_2WI 结合 DWI (B组) 对病灶的检出率为 100%,对病灶的定性准确率为 71.6% (48/67); T_1WI 、 T_2WI 、LAVA 多期动态增强扫描结合 DWI 序列(C组)对肝脏占位性病变的检出率和定性准确率分别为 100%和 97% (65/67)。

表 1 不同序列对病灶的显示和定性比较

(例)

病灶显示情况	A 组	B组	C 组
不能显示	0	0	0
能显示但不能定性	10(14.9)	19(28.4)	2(3.0)
能显示也能定性	57(85.1)	48(71.6)	65(97.0)

注:括号内为百分率;A组与C组比较, $\chi^2=5.858,P<0.05$ 。

2. 肝脏各病变 ADC 值

在 b 值为 800 s/mm^2 时各组 ADC 值由高到低排序,依次为肝囊肿、肝血管瘤、小肝癌,在 b 值为 800 s/mm^2 时,其差异均有统计学意义(P<0.01)。

表 2 肝脏各病变组的 ADC 值比较

 $(\times 10^{-3} \, \text{mm}^2/\text{s})$

病变种类	范围	平均值
小肝癌	$0.715 \sim 1.657$	1.132 ± 0.241
肝血管瘤	$1.765 \sim 2.553$	2.154 ± 0.308
肝囊肿	$2.828 \sim 3.755$	3.341 ± 0.299

注:与小肝癌比较 P<0.01;与肝血管瘤比较,P<0.01。

讨 论

肝脏占位病变是较常见的肝脏疾病,及早发现病灶、明确病灶范围和判断病灶性质是临床诊治的重要环节。在肝脏的 MRI 检查中,成像序列较多,各种不同的序列有着不同的组织对比机制和显示重点。因此在肝脏疾病的诊断中应该合理组合。

1. LAVA 扫描对肝脏占位性病变的诊断价值

LAVA 序列是一种快速三维容积 T_1 加权脂肪抑制成像技术,采用全新的脂肪抑制技术和 K 空间填充技术,从而保证 MRI 动态增强扫描的顺利实施,不仅可以有效地控制各时相数据采集的时间,还能较完美地捕捉到病灶在动脉早期、动脉晚期、门静脉期和延迟期各时相的强化特点和强化的演变特点。LAVA 序列扫描层厚为 2 mm,扫描时间仅 $12\sim15$ s,有利于病灶的发现和定性,并能提供更多血管解剖信息;本组病例分别采用 LAVA 序列对 67 个病灶进行扫描,其对病灶显示率、定性准确率分别为100% 和85.1%。

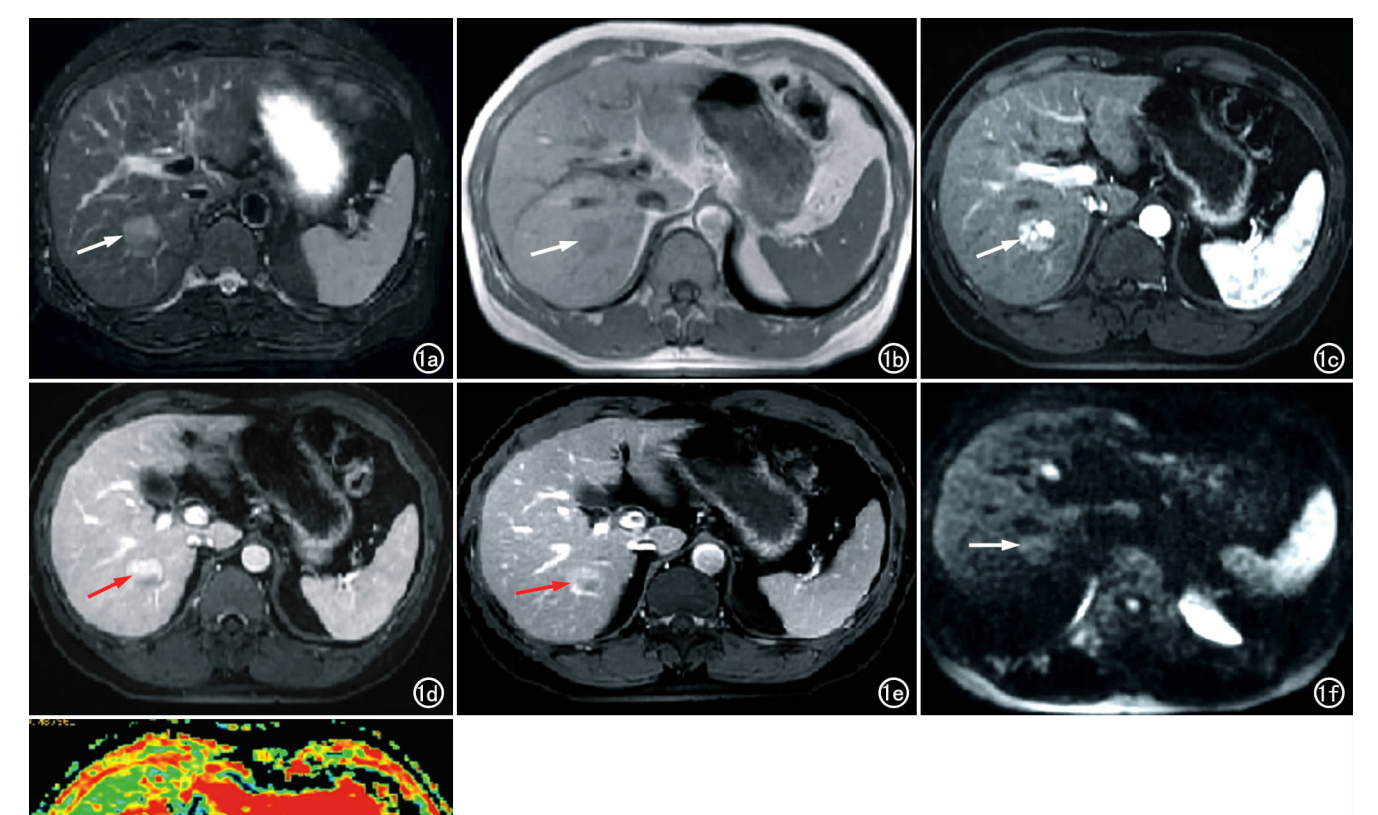


图 1 右后叶肝细胞肝癌。a) T_2WI ,示肝右后叶一高信号结节病灶影(箭);b) T_1WI 平扫,示病灶呈略低信号(箭);c) 动态增强动脉期,示病灶结节有明显强化(箭);d) 门脉期,示结节强化稍消退(箭);e) 延迟期,示结节呈等信号或高信号(箭);f) DWI,示结节呈稍高信号(箭);g) ADC 图,示结节呈低信号(箭),测量病灶 ADC 值为 $1.235 \times 10^{-3} \, \mathrm{mm}^2/\mathrm{s}$ 。

LAVA 序列较普通增强扫描的另一优势在于其还能进行三维重组,如 MPR 和 MIP 等,可清晰显示肝动脉、门静脉以及病灶毗邻血管受累情况,显示部分病灶的供血动脉、引流静脉,为肝癌切除、肝移植及介入治疗提供有效和可靠的帮助。

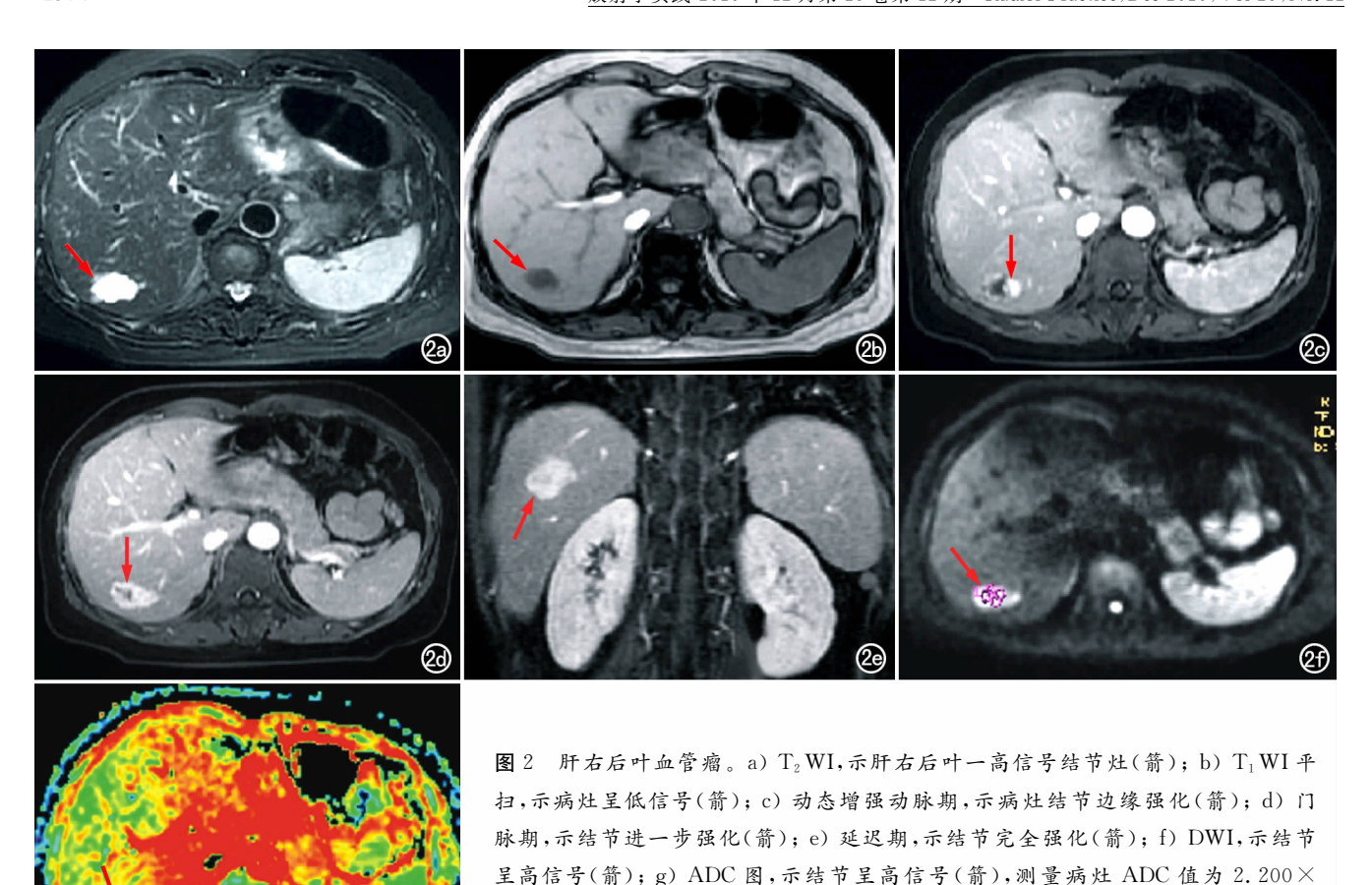
2. DWI 及 ADC 值测定的诊断和价值

DWI 是 MRI 常规检查技术的扩展,反映活体组织内水分子的扩散运动状态,从分子水平提供活体组织的代谢信息,反映组织结构特点,并可通过计算ADC 值进行量化分析。DWI 弥补了动态增强不能显示乏血管肿瘤和 T_2 WI 不能显示短 T_2 肿瘤的不足,在不用增强的情况下,能敏感地检测出病灶,且信噪比高,成像速度快,方法简单易行,提高了 MRI 对肝脏疾病的诊断能力。DWI 及 ADC 值测量对肝脏良恶性病变的鉴别,一直是众多学者关注的热点。

b值为扩散敏感系数,代表扩散加权程度,其单位为 s/mm²。实际工作中,b值的选取极其重要,一般来说,b值越大的图像测得的 ADC 值越准确,然而 b值过高意味着需要较长的回波时间(TE),反而会影响病灶 ADC 值的测量[1]和 DWI 图像质量。b值小的图像信噪比高,但是测得的 ADC 值偏高,且有较大波动。

本研究采用 b 值为 800 s/mm² 时,测得的 ADC 值较稳定,且图像质量也相对较好。肝脏病变 ADC 值的测量:兴趣区(region of interest,ROI)应避开较大的血管、肝管和伪影,对于以实质为主的病变应避开出血、坏死和囊变区,而对于以囊性病变为主者,则应只包括囊性部分。若病灶内坏死区较大、实质部分较小,而 ROI 是其实质部分时,可采用多点测量取平均值的方法,应尽可能包括病灶的最大范围。尽量不要将囊性、实性病变混在一起测量 ADC 值。

ADC 值表示水分子移动的自由度,反映组织中水分子的扩散程度,能定量代表组织扩散特性的 ADC 值与细胞外和细胞内成分的比例相关。随着组织细胞的增多和细胞密度的增大,ADC 值会下降。肝囊肿及肝血管瘤主要由液体成分构成,其水分子运动较自由,因此 ADC 值较肝脏实质性肿瘤高,在 DWI 图上呈低信号,ADC 图上呈高信号;但由于 DWI 的 T₂ 余辉效应^[2],部分病灶在 DWI 图上仍呈高信号。但肝血管瘤内常有纤维间隔、瘢痕、出血等,且血窦中所含血液的粘度高于囊肿内的囊液,其水分子运动较囊液相对受限,因此肝血管瘤的 ADC 值又低于肝囊肿。小肝癌等实质性肿瘤由实性细胞构成,其分子运动受限,ADC



 $10^{-3}\,\mathrm{mm^2/s_o}$

值较低,但是肿瘤血供丰富,含结合水量增加,因此其 ADC 值又较正常肝组织高。本研究 60 例(67 个病 灶)进行了 ADC 值测定, 肝囊肿、肝血管瘤、小肝细胞 癌的 ADC 值分别为(3.341±0.299) \times 10⁻³ mm²/s、 $(2.154 \pm 0.308) \times 10^{-3} \,\mathrm{mm}^2/\mathrm{s}, (1.132 \pm 0.241) \times$ 10⁻³ mm²/s。小肝细胞癌的 ADC 值与阙松林等^[3]的 研究结果相符;血管瘤、囊肿病变的 ADC 值均大于 1.76×10⁻³ mm²/s,与国内大多数研究结果大致相符。 徐海波等[4] 计测了肝脏恶性肿瘤、血管瘤和囊肿的 ADC值,认为 ADC值测定对肝脏良、恶性肿瘤鉴别诊 断有帮助。关于肝脏良恶性病变的 ADC 值分界点, 目前尚未达成共识。Kim 等[5] 研究认为,当 b 值为 846 s/mm² 时,以 ADC 值为 1.6×10⁻³ mm²/s 作为鉴 别肝脏良恶性肿瘤的阈值诊断敏感度达 98%,特异度 达 80%; 刘志兰等[6] 研究认为, 当 b 值为 500 s/mm² 时,肝脏良恶性肿瘤的 ADC 值分界点为 1.83× 10^{-3} mm²/s。本研究认为当 b 值为 800 s/mm² 时,将 ADC 值为 $1.85 \times 10^{-3} \, \text{mm}^2/\text{s}$ 定为良、恶性肿瘤的分 界点,其敏感度为96%,特异度为90%。

本研究发现,LAVA增强扫描对乏肝动脉供血的小肝癌、恶变的肝硬化结节不太敏感,对发生囊变、坏死的肝癌和部分不典型肝血管瘤的诊断也比较困难,

但如果结合 DWI 图像和 ADC 值对其诊断将很有帮助。LAVA 动态增强序列能够比较完美地实现肝脏的多期动态增强扫描,在病灶的检出率、准确性以及图像质量上都优于常规平扫压脂序列。而 DWI 序列为肝脏疾病的定性诊断提供了有力的帮助。DWI 结合LAVA 序列对肝脏占位性病变的显示、定性诊断与及术前可切除性的评价具有重要意义。

参考文献:

- [1] Mary T, Keogan MT, Robert R. Technologic advances in abdominal MR imaging[J]. Radiology, 2001, 220(1); 310-320.
- [2] Burdette JH, Elster AD, Ricci PE. Acute cerebral infarction; quantification of spin-density and T shine-through phenomena on diffusion weighted MR images[J]. Radiology, 1999, 212(1); 333-339.
- [3] 阙松林,张文昌,邱丹红,等. 3D-FSPGR 动态增强联合 DWI 诊断 肝内小结节病变[J]. 放射学实践,2009,24(3):281-282.
- [4] 徐海波,孔祥泉,肖学宏,等.扩散加权平面回波成像在肝占位性病变的应用探讨[J].中华放射学杂志,1999,33(11):766-768.
- [5] Kim T, Murakami T, Takahashi S, et al. Diffusion weighted sigle shot echo planar MR imaging for liver disease[J]. AJR, 1999, 173 (2):393-398.
- [6] 刘志兰,李晓娟,王巍,等. 磁共振扩散加权成像对肝脏常见肿瘤 的诊断与鉴别诊断作用[J]. 中国临床医学影像杂志,2007,18 (7):489-490.

(收稿日期:2010-03-31 修回日期:2010-06-09)